

Hogyan hegyezzünk ceruzát, vagyis a fából készült szerkezetek torziójának vizsgálata

Zaj András

Újvidéki Egyetem

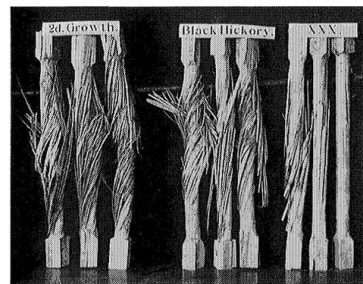
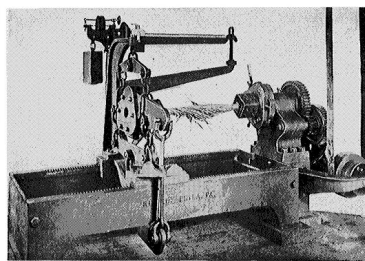
Építőmérnöki kar, Szabadka

E-mail: andrewzay@gmail.com

1. Bevezető

1.1. A fa mint építőanyag

A fa az egyik legrégebbi és legelterjedtebb építőanyag a világon. A fát mint nyersanyagot az emberiség ősidők óta sok mindenre használja. Elégeti, hogy világítson, hőt termeljen vele, mechanikai tulajdonságait kihasználva eszközöket, építményeket, épületeket hoz létre belőle. Mint építőanyag, talán a mechanikai tulajdonságai a legfontosabbak azok közül is a szilárdsága. A fa szilárdsága függ annak keménységétől, nedvességtartalmától, göcsösségétől, az igénybevétel irányától, ismétlődésétől és sebességétől. A természetes faanyag ortogonálisan anizotróp anyag, tehát a rugalmassági jellemzői nem tekinthetők azonosnak minden irányból. Mivel a munkámban a fából készült szerkezetek csavarásával foglalkozom, így számomra a legfontosabb a mechanikai tulajdonsága a nyírással szembeni ellenállása. Az alábbi képeken láthatk a csavarószilárdság meghatározásának menete rostokra merőleges síkban.



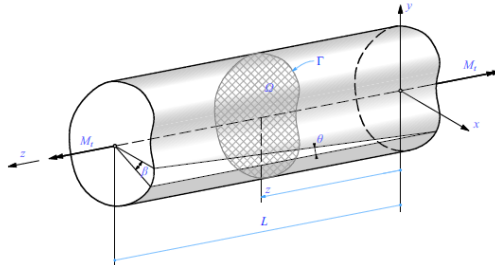
Jól látható, hogy amennyiben a csavarónyomaték rostirányú, a dualitás következtében rostirányú elválás, száladosás jelentkezik, mivel a csúszófeszültségekkel szembeni ellenállás rostirányban kisebb, mint rá merőleges síkban.

1.2. A munka célja

A dolgozat célja a csavarónyomatékkal terhelt prizmatikus rudak feszültség állapotának numerikus vizsgálata. A mérnöki szerkezetekben ritkán találkozhatunk tiszta csavarással terhelt tartókkal, bár a hajlítás mellett sűrűn jelentkezik mint összetett igénybevétel. Ahhoz, hogy tiszta csavarással találkozzunk elég megfigyelnünk a ceruzánkat hegyezés közben. A munkám során a következő feltételezéseket alkalmaztam: a fa mint anyag, homogén, izotróp és lineárisan rugalmas. Mérnöki gyakorlatban előfordulhatnak olyan esetek mikor a probléma nem oldható meg analitikusan illetve az analitikus megoldás összetettsége miatt, szükség van numerikus módszer alkalmazására. Legelterjedtebb numerikus módszerek a véges differenciák módszere és a végelem módszer. A dolgozatban a véges differencia módszer alkalmazhatóságát tanulmányoztam a Poisson másodfokú parciális differenciál egyenlet megoldására, négyzet és kör alakú tartományon. Valamint bemutatásra kerülnek az analitikus megoldások is amelyeket a mérnöki gyakorlatban legtöbbször alkalmaznak.

2. Csavarás

2.1. Definíció. *Ha egy rúdelemre a határoló keresztmetszetek síkjában forgató erőpárok M_t működnek, akkor a rúdelem csavarásra van igénybe véve.*



Egy általános keresztmetszetű prizmatikus rudat csavarással M_t terhelünk akkor a rúd minden pontjában csak nyírófeszültségek jelentkeznek, ezt a fajta terhelési esetet szabad csavarásnak nevezzük. A csavarónyomaték hatására a rúd keresztmetszete elfordul a z tengely körül. Azt a szöget pedig amellyel elfordul a keresztmetszet elfordulás szögének nevezzük és φ vel jelöljük. A rúd egység hosszra vonatkozó elcsavaródását relatív elcsavarodásnak nevezzük és θ -val jelöljük. Fontos megjegyezni, hogy a relatív elcsavarodás vagyis a θ tiszta alakváltozási mennyiség. A rudaknál amelyek csavarással terheltek a keresztmetszetek öblösödnek, nem maradnak a saját síkjukban, ez alól kivételt képeznek a kör keresztmetszetű rudak. Elsőnek a kör keresztmetszetű rudakkal foglalkozunk az elemi szilárdságtan szintjén. A következő feltételezésekből kiindulva: a keresztmetszetek a saját síkjukban fordulnak el, tehát nem öblösödnek, a z tengelyre merőleges egyenesszakaszok a z körül fordulnak el, valamint sem a rúd hossza, sem az átmérője nem változik, azonban a z távolságra levő körlapok

egymáshoz viszonyítva relatív szögelfordulást θ szenvednek. A kör keresztmetszetnél a nyírófeszültségek τ lineárisan oszlanak el a következő összefüggés alapján:

$$\tau = \frac{M_t}{I_t} r \quad (2.1)$$

A maximális értékét pedig a keresztmetszet peremén éri el. Az általános keresztmetszetű prizmatikus rudak csavarását pedig Saint-Venant féle szemi-inverz eljárással oldhatjuk meg. Feltételezzük, hogy csak két alakváltozás komponens vagyis a két szögtorzulás γ_{xz} és a γ_{yz} különbözik zérustól. A $\phi(x, y)$ torzulási függvény bevezetésével meghatározhatóak a nyírófeszültségek:

$$\tau_{xz} = \frac{\partial \phi(x, y)}{\partial x}, \quad \tau_{yz} = \frac{\partial \phi(x, y)}{\partial y} \quad (2.2)$$

valamint a csavarónyomaték értéke amelyet pedig a következő képlettel számíthatjuk ki:

$$M_t = 2 \int_A \phi(x, y) dA \quad (2.3)$$

A geometriai értelmezésük pedig, ha a torzulási függvény értékeit mint applikáta tekintjük, akkor felületet kapunk eredményül. A felület érintőinek meredeksége adja a nyírófeszültségek értékeit. A csavarónyomaték értéke pedig egyenlő a térfogat kétszeresével amelyet a felület és a keresztmetszet síkja határol. A csavarás problémája másodfokú parciális differenciál egyenlet megoldására vezethető vissza:

$$\frac{\partial^2 \phi}{\partial x^2} + \frac{\partial^2 \phi}{\partial y^2} = -2G\theta \quad (2.4)$$

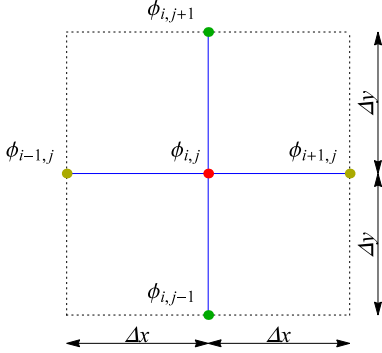
valamint a hozzátartozó a peremfeltételekkel:

$$\phi|_{\Gamma_0} = 0 \quad (2.5)$$

A gyakorlatban ennek a matematikai problémának a megoldása eléggé összetett, mert a különböző alakú tartomány esetén külön megoldást kell keresni. A derékszögű keresztmetszetű rúd csavarás problémájának megoldására többféle eljárás alkalmazható. Általában az elemi szilárdságtanban szereplő táblázatot használják, mely a különféle oldalarányokhoz kínál megoldást. A keresztmetszet peremén a nyírófeszültségek iránya párhuzamos a téglalap oldalával, azonban a sarkokban a nyírófeszültségek zérus értékűek.

3. A véges differencia módszer

A véges differenciák módszere (angolul finite difference method vagy röviden FEM) alapötlete, a tartományt derékszögű egyenlő közű ráccsal leborítva a derivált értékeit a csomópontokban közelítése, véges differencia sémákkal. Így a parciális differenciál egyenlet közelítő megoldása lineáris algebrai egyenletrendszerre vezethető vissza. A másodfokú parciális deriváltakat a következőképpen tudjuk véges differenciák módszerével numerikusan közelíteni négyzet alakú tartományon:



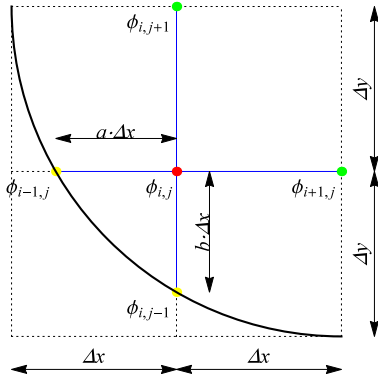
$$\frac{\partial^2 \phi}{\Delta x^2} \cong \frac{1}{\Delta x^2} (\phi_{i+1,j} - 2\phi_{i,j} + \phi_{i-1,j})$$

$$\frac{\partial^2 \phi}{\Delta y^2} \cong \frac{1}{\Delta y^2} (\phi_{i,j+1} - 2\phi_{i,j} + \phi_{i,j-1})$$

Tehát a fentiekben leírt közelítéssel a Poisson parciális differenciál egyenlet (2.4) a következő véges differenciával közelíthető az (i, j) csomópontban:

$$\frac{1}{\Delta x^2} (\phi_{i+1,j} - 2\phi_{i,j} + \phi_{i-1,j}) + \frac{1}{\Delta y^2} (\phi_{i,j+1} - 2\phi_{i,j} + \phi_{i,j-1}) = -2G\theta \quad (3.6)$$

azonban a közelítés általános tartomány esetén lényegesen összetettebb:



$$\Delta x = \Delta y = h$$

$$0 < a, b < 1$$

Az ábrán látható, hogy az $(i-1, j)$ és az $(i, j-1)$ csomópontok a tartomány szélén találhatóak, tehát feltételezhetjük, hogy ismert a $\phi_{i-1,j}$ és az $\phi_{i,j-1}$ értéke, a csavarás esetében mivel homogén peremfeltételekről (2.5) van szó ezért az értékük zérus. Általános alakú tartományt vizsgálva amint az ábra is jól mutatja, az $(i-1, j)$ és az $(i, j-1)$ csomópontok nem esnek egybe a rácspontokkal.

Észrevehető, hogy az (3.6) egyenletet nem tudjuk alkalmazni, mert egyes pontok amelyek a képletben szerepelnek nincsenek a tartomány határán. Ez helyett megpróbáljuk alkalmazni a torzulási függvény ismert csomóponti értékeit $\phi_{i-1,j}$ és $\phi_{i,j-1}$.

A Taylor sorba fejtést használva a ϕ :

$$\begin{aligned}\phi_{i-1,j} &= \phi_{i,j} + ah \frac{\partial \phi}{\partial x} + \frac{1}{2}(ah)^2 \frac{\partial^2 \phi}{\partial x^2} + \dots \\ \phi_{i+1,j} &= \phi_{i,j} - h \frac{\partial \phi}{\partial x} + \frac{1}{2}h^2 \frac{\partial^2 \phi}{\partial x^2} + \dots\end{aligned}$$

tehát

$$\phi_{i-1,j} + a\phi_{i+1,j} \cong (1+a)\phi_{i,j} + \frac{1}{2}a(1+a)h^2 \frac{\partial^2 \phi}{\partial x^2}$$

az előbbiekből következik, hogy a második parciális derivált x szerint az (i, j) csomópontban a következő egyenlettel közelíthető:

$$\frac{\partial^2 \phi}{\partial x^2} \cong \frac{2}{\Delta x^2} \left(\frac{1}{a(1+a)} \phi_{i-1,j} + \frac{1}{1+a} \phi_{i+1,j} - \frac{1}{a} \phi_{i,j} \right).$$

hasonló módon kapjuk meg az y szerinti második derivált közelítését is:

$$\frac{\partial^2 \phi}{\partial y^2} \cong \frac{2}{\Delta y^2} \left(\frac{1}{b(1+b)} \phi_{i,j-1} + \frac{1}{1+b} \phi_{i,j+1} - \frac{1}{b} \phi_{i,j} \right).$$

behelyettesítve a közelítéseket következik, hogy általános alakú tartomány esetén, felhasználva a csomópontokat melyek a tartomány pereméhez legközelebb találhatóak a Poisson féle másodfokú parciális differenciál egyenlet a következő alakra hozható

$$\begin{aligned}?? \frac{2}{\Delta x^2} \left(\frac{1}{a(1+a)} \phi_{i-1,j} + \frac{1}{1+a} \phi_{i+1,j} - \frac{1}{a} \phi_{i,j} \right) + \\ + \frac{2}{\Delta y^2} \left(\frac{1}{b(1+b)} \phi_{i,j-1} + \frac{1}{1+b} \phi_{i,j+1} - \frac{1}{b} \phi_{i,j} \right) = -2G\theta \quad (3.7)\end{aligned}$$

4. Mintapéldák

A mintapéldák csavarással terhelt kör és négyszög keresztmetszetű prizmatikus rudak vizsgálatával foglalkoznak. Ezeken a példákon keresztül kerül bemutatásra a Poisson féle másodrendű parciális differenciál egyenlet numerikus megoldása véges differenciák módszerével négyzet és kör alakú tartomány felett.

4.1. Példa. Tekintsünk egy $l = 1.0m$ hosszúságú és derékszögű négyszög keresztmetszetű, $b/a = 0.2/0.2m$ oldalú rudat, melyet a rúd végein szögelfordulás $\theta = 0.01745rad$ terhel. Számítsuk ki a csavarónyomaték értékét M_t amely előidézi a rúd θ szöggel való elcsavarodását, valamint számítsuk ki a legnagyobb nyírófeszültségek τ_{xz} és τ_{yx} értékeit, amelyek a terhelés hatására jelentkeznek.

A feladatot elsőnek analitikusan oldjuk meg, az elemi szilárdságtanban már ismertetett összefüggésekkel. A csavarási merevség meghatározásához szükséges α, β és γ értékeit az elemi szilárdságtanból ismert táblázat tartalmazza, Otpornost materijala, dr. inž. V. Brčić, 156. oldal. Mivel az adott tartó keresztmetszete $b/a = 0.2/0.2m$ azonban a táblázatban szereplő képletek a keresztmetszetet úgy veszik figyelembe mint $2b/2a$ így a számításokban $b/a = 0.1/0.1m$ használunk.

$$b/a = 0.1/0.1 = 1.0 \Rightarrow \begin{cases} \alpha = 0.141 \\ \beta = 0.208 \\ \gamma = 1.000 \end{cases}$$

a csavarási merevség értékét C_t a következő képlettel számítjuk:

$$C_t = 16 \cdot G \cdot \beta \cdot b \cdot a^3 = 16 \cdot 10^6 \cdot 0.141 \cdot 0.1 \cdot 0.1^3 = 225.6kNm^2$$

majd a legnagyobb nyírófeszültség τ_{max} :

$$\tau_{max} = \frac{C_t \cdot \theta}{8 \cdot \alpha \cdot b \cdot a^2} = \frac{225.6 \cdot 0.01745}{8 \cdot 0.208 \cdot 0.1 \cdot 0.1^2} = 2365.817308kN/m^2 = 0.23658MPa$$

a csavarónyomatékot pedig megkapjuk mint a csavarási merevség és a szögelfordulás szorzata M_t :

$$M_t = \theta \cdot C_t = 0.01745 \cdot 225.6 = 3.93672kNm$$

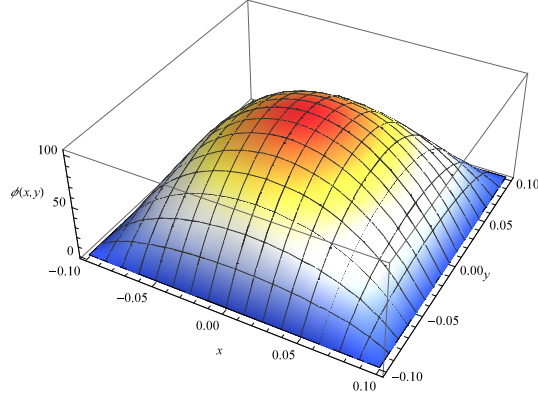
Látható, hogy az $l = 1.0m$ hosszúságú derékszögű négyszög keresztmetszetű rúd $\theta = 0.01745rad$ történő elcsavarodásához a rúd végein $M_t = 3.93672kNm$ nagyságú csavarónyomatéknak kell hatnia. A legnagyobb nyírófeszültség $\tau_{max} = 2365.82kN/m^2$ pedig a keresztmetszet oldalának felezővonalában keletkezik.

A következőkben a csavarást leíró Poisson féle parciális differenciál egyenlet (2.4) Fourier módszerrel történő megoldásával foglalkozunk. A keresztmetszet csavarási tehetetlenségi nyomatéka I_t sorbafejtéssel kifejezve:

$$I_t = \frac{16}{3}a^3b \left(1 - \frac{192a}{b\pi^5} \sum_{n=1,3,5\dots}^{\infty} \frac{1}{n^5} \tanh\left(\frac{n\pi b}{2a}\right) \right)$$

torzulási függvényt $\phi(x, y)$ a következő sorral számíthatjuk ki:

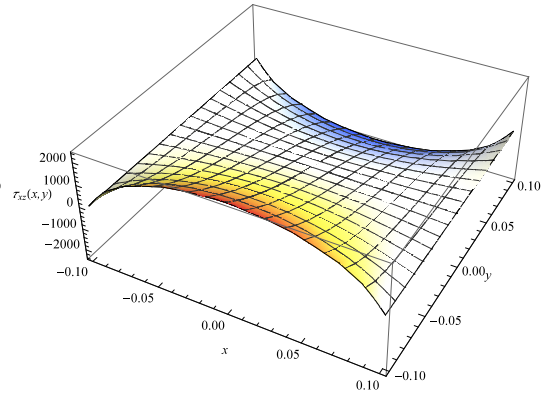
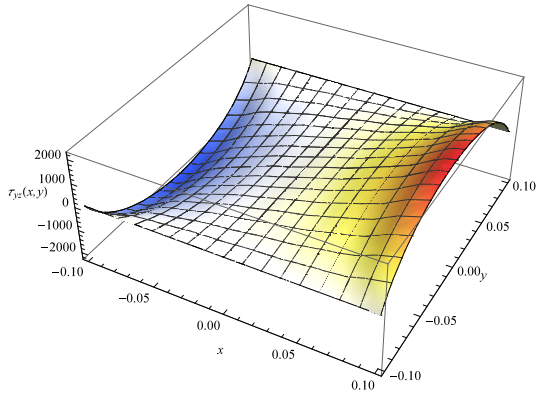
$$\phi(x, y) = \frac{32G\theta a^2}{\pi^3} \sum_{n=1,3,5,\dots}^{\infty} \frac{1}{n^3} (-1)^{\frac{n-1}{2}} \left(1 - \frac{\cosh \frac{n\pi y}{2a}}{\cosh \frac{n\pi b}{2a}} \right) \cos \frac{n\pi x}{2a}$$



a nyírófeszültségek τ_{yz} és τ_{xz} viszont a következő képlettel:

$$\tau_{yz} = \frac{16G\theta a}{\pi^2} \sum_{n=1,3,5,\dots}^{\infty} \frac{1}{n^2} (-1)^{\frac{n-1}{2}} \left(1 - \frac{\cosh \frac{n\pi y}{2a}}{\cosh \frac{n\pi b}{2a}} \right) \sin \frac{n\pi x}{2a}$$

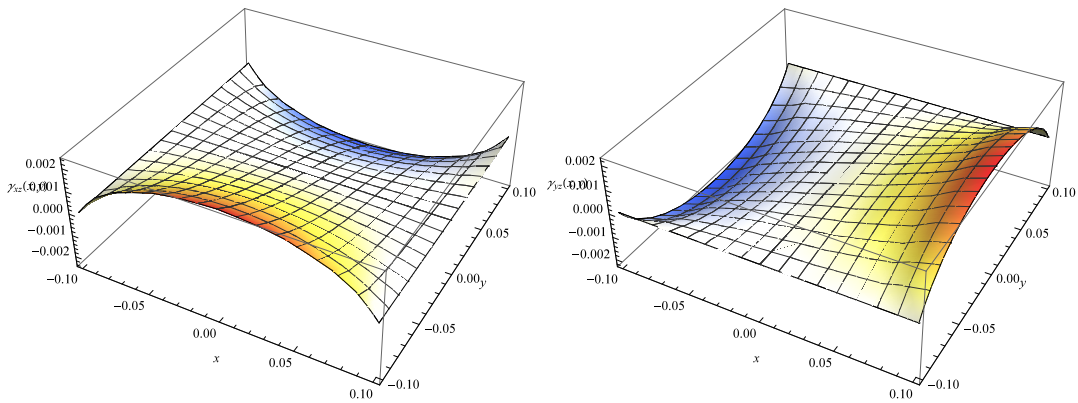
$$\tau_{xz} = \frac{16G\theta b}{\pi^2} \sum_{n=1,3,5,\dots}^{\infty} \frac{1}{n^2} (-1)^{\frac{n-1}{2}} \left(-\cos \frac{n\pi x}{2a} \frac{1}{\cosh \frac{n\pi b}{2b}} \right) \sinh \frac{n\pi y}{2b}$$



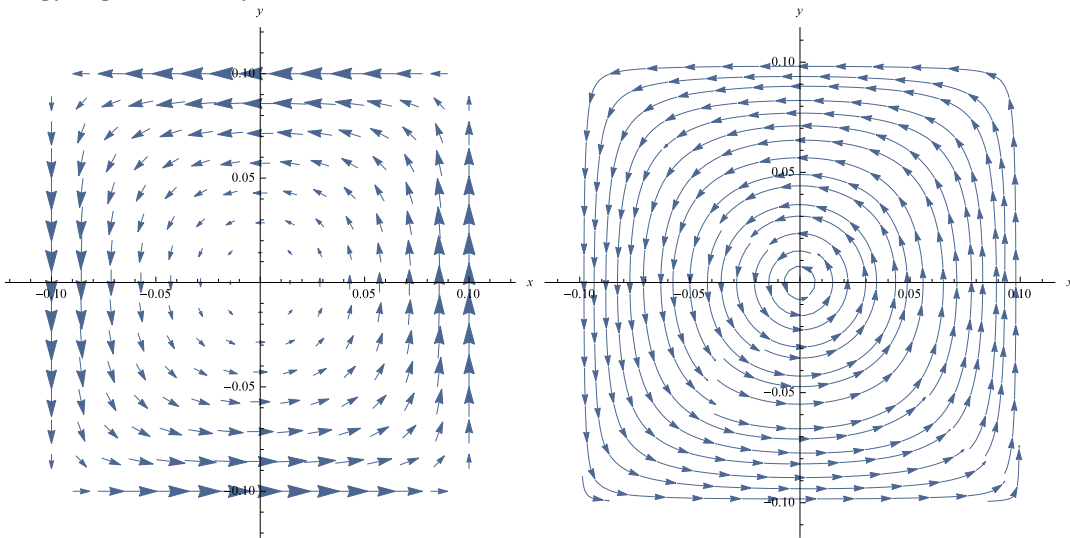
legnagyobb nyírófeszültség pedig τ_{max} :

$$\tau_{max} = \frac{16G\theta a}{\pi^2} \sum_{n=1,3,5,\dots}^{\infty} \frac{1}{n^2} \left(1 - \frac{1}{\cosh \frac{n\pi b}{2a}} \right) = 2349.75 \text{ kN/m}^2 = 0.23498 \text{ MPa}$$

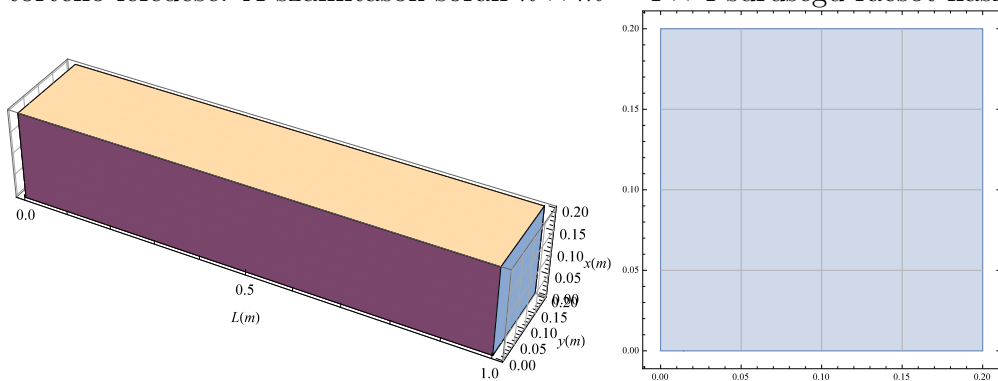
szögtorzulást γ_{xz} és γ_{yz} bemutató alábbi ábrákon megfigyelhető a keresztmetszet x és y irányú elmozdulása, vagyis a keresztmetszet öblösödése

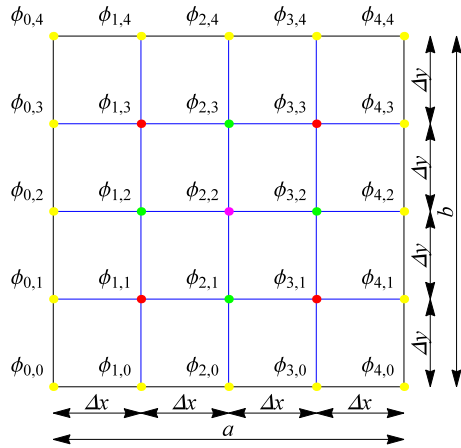


vektormező diagrammokon a keresztmetszet adott pontjaiban fellépő feszültségek nagyságát és irányítását szemlélteti:



A numerikus megoldások közül a véges differenciák módszerét alkalmazva oldjuk meg a feladatot. Az első lépés a tartomány felosztása, vagyis a keresztmetszet ráccsal történő lefedése. A számítások során $n \times m = 4 \times 4$ sűrűségű rácsot használunk:





$$a = 0.2m$$

$$b = 0.2m$$

$$m = 4$$

$$n = 4$$

$$\Delta x = \frac{a}{m} = \frac{0.2}{4} = 0.05m$$

$$\Delta y = \frac{b}{n} = \frac{0.2}{4} = 0.05m$$

a torzulási függvény $\phi_{i,j}$ értékeit az (i,j) csomópontokban a (3.6) képlet alapján határozható meg. Minden egyes belső csomópontra külön algebrai egyenletet írunk fel, a peremen lévő csomópontokban pedig az (2.5) peremfeltételeknek megfelelően a torzulási függvény értékére zérust veszünk:

- csomópont $\phi_{1,1}$

$$\frac{1}{0.05^2} (\phi_{2,1} - 2\phi_{1,1} + \phi_{0,1}) + \frac{1}{0.05^2} (\phi_{1,2} - 2\phi_{1,1} + \phi_{1,0}) = -2G\theta$$

$$400\phi_{2,1} - 800\phi_{1,1} + 400\phi_{1,2} - 800\phi_{1,1} = -34900$$

$$400\phi_{2,1} - 1600\phi_{1,1} + 400\phi_{1,2} = -34900$$

- csomópont $\phi_{2,1}$

$$\frac{1}{0.05^2} (\phi_{3,1} - 2\phi_{2,1} + \phi_{1,1}) + \frac{1}{0.05^2} (\phi_{2,2} - 2\phi_{2,1} + \phi_{2,0}) = -2G\theta$$

$$400\phi_{3,1} - 800\phi_{2,1} + 400\phi_{1,1} + 400\phi_{2,2} - 800\phi_{2,1} = -34900$$

$$400\phi_{3,1} - 1600\phi_{2,1} + 400\phi_{1,1} + 400\phi_{2,2} = -34900$$

- csomópont $\phi_{3,1}$

$$\frac{1}{0.05^2} (\phi_{4,1} - 2\phi_{3,1} + \phi_{2,1}) + \frac{1}{0.05^2} (\phi_{3,2} - 2\phi_{3,1} + \phi_{3,0}) = -2G\theta$$

$$-800\phi_{3,1} + 400\phi_{2,1} + 400\phi_{3,2} - 800\phi_{3,1} = -34900$$

$$-1600\phi_{3,1} + 400\phi_{2,1} + 400\phi_{3,2} = -34900$$

- csomópont $\phi_{1,2}$

$$\frac{1}{0.05^2} (\phi_{2,2} - 2\phi_{1,2} + \phi_{0,2}) + \frac{1}{0.05^2} (\phi_{1,3} - 2\phi_{1,2} + \phi_{1,1}) = -2G\theta$$

$$400\phi_{2,2} - 800\phi_{1,2} + 400\phi_{1,3} - 800\phi_{1,2} + 400\phi_{1,1} = -34900$$

$$400\phi_{2,2} - 1600\phi_{1,2} + 400\phi_{1,3} + 400\phi_{1,1} = -34900$$

- csomópont $\phi_{2,2}$

$$\begin{aligned} \frac{1}{0.05^2} (\phi_{3,2} - 2\phi_{2,2} + \phi_{1,2}) + \frac{1}{0.05^2} (\phi_{2,3} - 2\phi_{2,2} + \phi_{2,1}) &= -2G\theta \\ 400\phi_{3,2} - 800\phi_{1,2} + 400\phi_{1,2} + 400\phi_{2,3} - 800\phi_{2,2} + 400\phi_{2,1} &= -34900 \\ 400\phi_{3,2} - 1600\phi_{2,2} + 400\phi_{1,2} + 400\phi_{2,3} + 400\phi_{2,1} &= -34900 \end{aligned}$$

- csomópont $\phi_{3,2}$

$$\begin{aligned} \frac{1}{0.05^2} (\phi_{4,2} - 2\phi_{3,2} + \phi_{2,2}) + \frac{1}{0.05^2} (\phi_{3,3} - 2\phi_{3,2} + \phi_{3,1}) &= -2G\theta \\ -800\phi_{3,2} + 400\phi_{2,2} + 400\phi_{3,3} - 800\phi_{3,2} + 400\phi_{3,1} &= -34900 \\ -1600\phi_{3,2} + 400\phi_{2,2} + 400\phi_{3,3} + 400\phi_{3,1} &= -34900 \end{aligned}$$

- csomópont $\phi_{1,3}$

$$\begin{aligned} \frac{1}{0.05^2} (\phi_{2,3} - 2\phi_{1,3} + \phi_{0,3}) + \frac{1}{0.05^2} (\phi_{4,3} - 2\phi_{1,3} + \phi_{1,2}) &= -2G\theta \\ 400\phi_{2,3} - 800\phi_{1,3} - 800\phi_{1,3} + 400\phi_{1,2} &= -34900 \\ 400\phi_{2,3} - 1600\phi_{1,3} + 400\phi_{1,2} &= -34900 \end{aligned}$$

- csomópont $\phi_{2,3}$

$$\begin{aligned} \frac{1}{0.05^2} (\phi_{3,3} - 2\phi_{2,3} + \phi_{1,3}) + \frac{1}{0.05^2} (\phi_{2,4} - 2\phi_{2,3} + \phi_{2,2}) &= -2G\theta \\ 400\phi_{3,3} - 800\phi_{2,3} + 400\phi_{1,3} - 800\phi_{2,3} + 400\phi_{2,2} &= -34900 \\ 400\phi_{3,3} - 1600\phi_{2,3} + 400\phi_{1,3} + 400\phi_{2,2} &= -34900 \end{aligned}$$

- csomópont $\phi_{3,3}$

$$\begin{aligned} \frac{1}{0.05^2} (\phi_{4,3} - 2\phi_{3,3} + \phi_{2,3}) + \frac{1}{0.05^2} (\phi_{3,4} - 2\phi_{3,3} + \phi_{3,2}) &= -2G\theta \\ -800\phi_{3,3} + 400\phi_{2,3} - 800\phi_{3,3} + 400\phi_{3,2} &= -34900 \\ -1600\phi_{3,3} + 400\phi_{2,3} + 400\phi_{3,2} &= -34900 \end{aligned}$$

Mivel a példában mindkét irányban egyforma lépésközű rácsot alkalmazunk ezért $\Delta x = \Delta y = h$ és az (3.6) egyenlet a következő alakban írható fel:

$$\frac{1}{h^2} (\phi_{i+1,j} + \phi_{i-1,j} + \phi_{i,j+1} + \phi_{i,j-1} - 4\phi_{i,j}) = -2G\theta \quad (4.8)$$

Mint mátrixegyenlet pedig:

$$\mathbf{A} \cdot \boldsymbol{\phi} = \mathbf{f}$$

ahol az \mathbf{A} mátrix egy blokk-tridiagonális mátrix

$$\mathbf{A} = \frac{1}{h^2} \begin{bmatrix} B & -I & & & & & & & & \\ -I & B & -I & & & & & & & \\ & -I & B & -I & & & & & & \\ & & & \ddots & & \ddots & & & & \\ & & & & -I & B & -I & & & \\ & & & & & -I & B & & & \\ & & & & & & -I & B & & \\ & & & & & & & -I & B & \\ & & & & & & & & -I & B \end{bmatrix}$$

az \mathbf{I} az $n \times n$ -es identitás és tridiagonális mátrix:

$$\mathbf{I} = \begin{bmatrix} 4 & -1 & & & & & & & & \\ -1 & 4 & -1 & & & & & & & \\ & -1 & 4 & -1 & & & & & & \\ & & & \ddots & & \ddots & & & & \\ & & & & -1 & 4 & -1 & & & \\ & & & & & -1 & 4 & & & \\ & & & & & & -1 & 4 & & \\ & & & & & & & -1 & 4 & \\ & & & & & & & & -1 & 4 \end{bmatrix}$$

Az \mathbf{f} mátrix pedig:

$$\mathbf{f} = \begin{bmatrix} -2G\theta \\ -2G\theta \\ -2G\theta \\ \vdots \\ -2G\theta \\ -2G\theta \end{bmatrix}$$

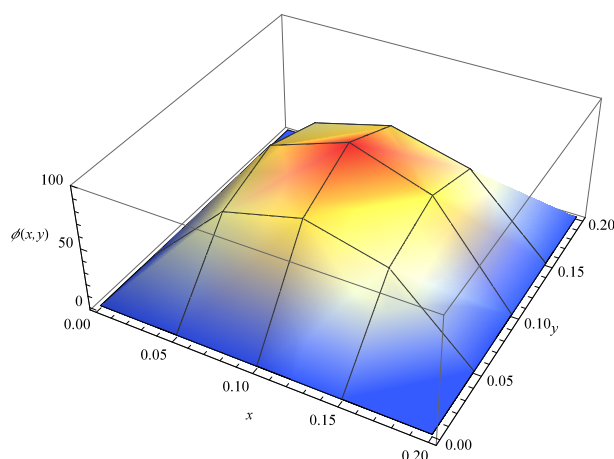
Erre az esetre a mátrix egyenlet a következőképpen írható fel:

$$\frac{1}{h^2} \begin{bmatrix} -4 & 1 & 0 & 1 & 0 & 0 & 0 & 0 & 0 & 0 \\ 1 & -4 & 1 & 0 & 1 & 0 & 0 & 0 & 0 & 0 \\ 0 & 1 & -4 & 0 & 0 & 1 & 0 & 0 & 0 & 0 \\ 1 & 0 & 0 & -4 & 1 & 0 & 1 & 0 & 0 & 0 \\ 0 & 1 & 0 & 1 & -4 & 1 & 0 & 1 & 0 & 0 \\ 0 & 0 & 1 & 0 & 1 & -4 & 0 & 0 & 1 & 0 \\ 0 & 0 & 0 & 1 & 0 & 0 & -4 & 1 & 0 & 0 \\ 0 & 0 & 0 & 0 & 1 & 0 & 1 & -4 & 1 & 0 \\ 0 & 0 & 0 & 0 & 0 & 1 & 0 & 1 & -4 & 1 \end{bmatrix} \cdot \begin{bmatrix} \phi_{1,1} \\ \phi_{2,1} \\ \phi_{3,1} \\ \phi_{1,2} \\ \phi_{2,2} \\ \phi_{3,2} \\ \phi_{1,3} \\ \phi_{2,3} \\ \phi_{3,3} \end{bmatrix} = \begin{bmatrix} -2G\theta \\ -2G\theta \\ -2G\theta \\ -2G\theta \\ -2G\theta \\ -2G\theta \\ -2G\theta \\ -2G\theta \\ -2G\theta \end{bmatrix}$$

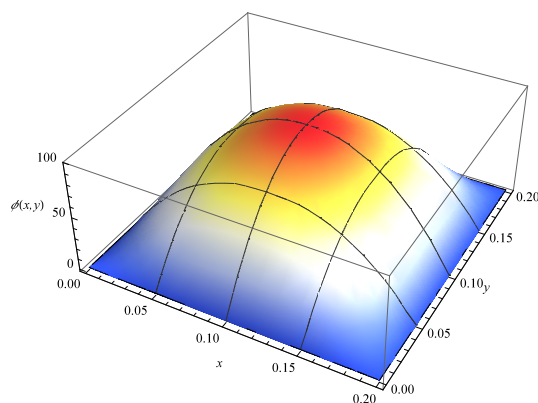
A mátrixegyenlet megoldásával, vagyis a lineáris egyenletrendszer megoldásával a torzulási függvény $\phi_{i,j}$ csomóponti értékeit határozzuk meg:

$$\begin{aligned} \phi_{1,1} &= 59.9844; & \phi_{2,1} &= 76.3438; & \phi_{3,1} &= 59.9844 \\ \phi_{1,2} &= 76.3438; & \phi_{2,2} &= 98.1563; & \phi_{3,2} &= 76.3438 \\ \phi_{1,3} &= 59.9844; & \phi_{2,3} &= 76.3438; & \phi_{3,3} &= 59.9844 \end{aligned}$$

torzulási függvény $\phi(x, y)$ diszkrét felületként grafikusán ábrázolva:



a diszkrét pontokból interpolációs módszert alkalmazva folytonos felületet állítunk elő vagyis megkapjuk a torzulási függvény $\phi(x, y)$ folytonos alakját:



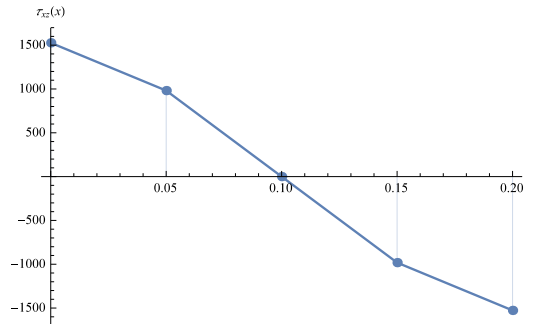
Amikor meghatároztuk a torzulási függvénynek $\phi_{i,j}$ a csomóponti értékeit, akkor ezekből az adatokból meg tudjuk határozni a nyírófeszültség τ_{xz} és a τ_{yz} értékeit a csomópontokban. Mivel az (2.2) egyenlet egy egyváltozós parciális differenciál egyenlet, ezt is véges differenciák módszerével oldjuk meg:

$$\tau_{yz;i,j} = -\frac{\phi_{i+1,j} - \phi_{i-1,j}}{2\Delta x}; \quad \tau_{xz;i,j} = -\frac{\phi_{i,j+1} - \phi_{i,j-1}}{2\Delta y} \quad (4.9)$$

érdeemes megjegyeznünk, hogy a tartomány határán az egyenletet (4.9) alkalmazva nagy eltérések jelentkezhetnek.

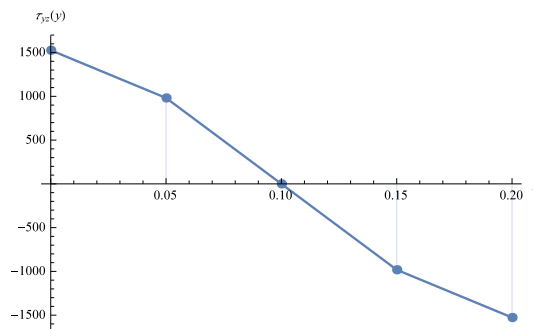
az x irányú nyírófeszültség τ_{xz} :

$$\begin{aligned}\tau_{xz;0,2} &= \frac{\phi_{1,2}}{\Delta x} = \frac{76.3438}{0.05} = 1526.876kN/m^2 \\ \tau_{xz;1,2} &= \frac{\phi_{2,2} - \phi_{0,2}}{2\Delta x} = \frac{98.1563 - 0}{2 \cdot 0.05} = 981.563kN/m^2 \\ \tau_{xz;2,2} &= \frac{\phi_{3,2} - \phi_{1,2}}{2\Delta x} = \frac{76.3438 - 76.3438}{2 \cdot 0.05} = 0kN/m^2 \\ \tau_{xz;3,2} &= \frac{\phi_{4,2} - \phi_{2,2}}{2\Delta x} = \frac{0 - 98.1563}{2 \cdot 0.05} = -981.563kN/m^2 \\ \tau_{xz;4,2} &= \frac{-\phi_{3,2}}{\Delta x} = \frac{-76.3438}{0.05} = -1526.876kN/m^2\end{aligned}$$



az y irányú nyírófeszültség pedig τ_{yz} :

$$\begin{aligned}\tau_{yz;2,0} &= -\frac{\phi_{2,1}}{\Delta x} = -\frac{76.3438}{0.05} = -1526.876kN/m^2 \\ \tau_{yz;2,1} &= -\frac{\phi_{2,2} - \phi_{2,0}}{2\Delta x} = -\frac{98.1563 - 0}{2 \cdot 0.05} = -981.563kN/m^2 \\ \tau_{yz;2,2} &= -\frac{\phi_{2,3} - \phi_{2,1}}{2\Delta x} = -\frac{76.3438 - 76.3438}{2 \cdot 0.05} = 0kN/m^2 \\ \tau_{yz;2,3} &= -\frac{\phi_{2,4} - \phi_{2,2}}{2\Delta x} = -\frac{0 - 98.1563}{2 \cdot 0.05} = 981.563kN/m^2 \\ \tau_{yz;2,4} &= -\frac{-\phi_{2,3}}{\Delta x} = -\frac{-76.3438}{0.05} = 1526.876kN/m^2\end{aligned}$$



A mérnöki gyakorlatban azonban a legnagyobb nyírófeszültség meghatározására általában elég ha interpolációs polinomot használunk három csomóponton keresztül:

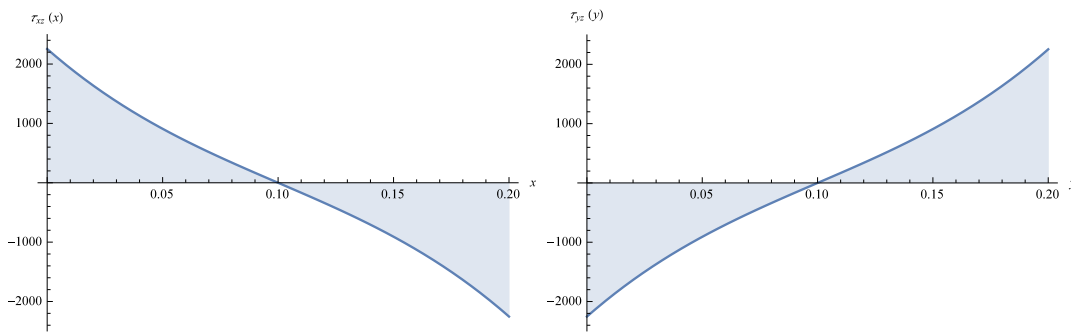
$$\tau_{zx} = -\frac{-3\phi_{0,2} + 4\phi_{1,2} - \phi_{2,2}}{2\Delta x} = -\frac{-3 \cdot 0 + 4 \cdot 76.3438 - 98.1563}{2 \cdot 0.05} = -2072.189 \text{ kN/m}^2$$

$$\tau_{zy} = \frac{-3\phi_{2,0} + 4\phi_{2,1} - \phi_{2,2}}{2\Delta x} = \frac{-3 \cdot 0 + 4 \cdot 76.3438 - 98.1563}{2 \cdot 0.05} = 2072.189 \text{ kN/m}^2$$

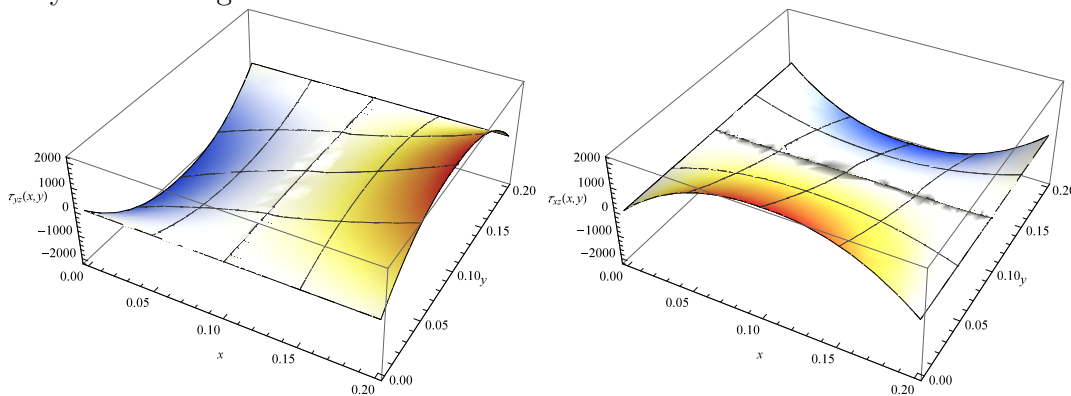
A nyíró feszültségek τ_{zx} és a τ_{zy} pontosabb meghatározása érdekében azonban érdemes a torzulási függvény folyamatos felületként történő használata, vagyis ha megkeressük az első parciális deriváltját x és y szerint, lényegesebben pontosabb megoldást kapunk:

$$\tau_{xz}(x) = 2253.96x - 17086.5x^2 + 58166.7x^3 - 145417x^4$$

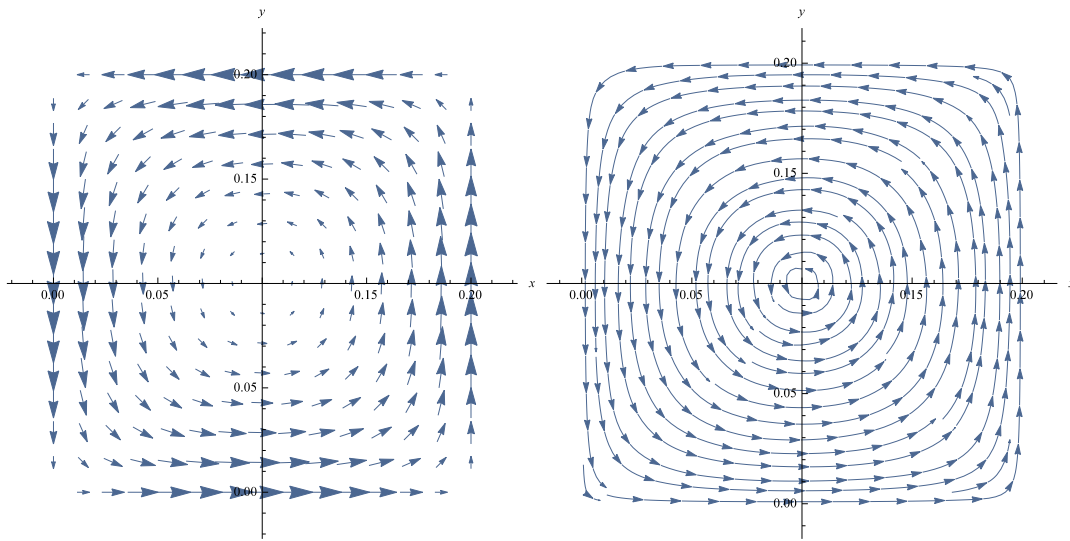
$$\tau_{yz}(y) = 2253.96y - 17086.5y^2 + 58166.7y^3 - 145417y^4$$



a nyírófeszültségek térbeli ábrázolásban:



vektormező diagrammon bemutatva:

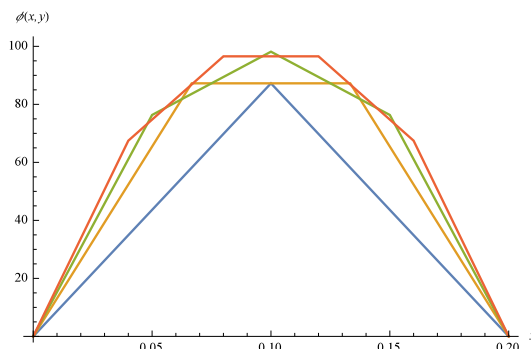


a csavarónyomatékot M_t pedig a (2.3) képlet alapján diszkrét alakban:

$$M_t = 2 \int \int \phi(x, y) dx dy = 2 \cdot \sum_{i=1}^n \phi_{i,j} \frac{(2\Delta x \Delta y)^2}{3}$$

$$M_t = 0.1406 \cdot (2a)^4 G \theta = 0.1406 \cdot (2 \cdot 0.1)^4 \cdot 10^6 \cdot 0.01745 = 3.925552 kNm$$

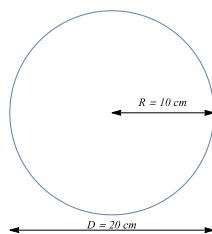
különböző rácssűrűség mellett megfigyelhető a véges differencia módszer pontossága



A véges differenciák módszerét általános alakú tartomány esetén egy kör keresztmetzetű rúdelem csavarásán keresztül mutatom be.

4.2. Példa. Vegyünk egy $l = 1.0m$ hosszúságú és $d = 0.1m$ átmérőjű kör keresztmetzetű rudat melyet szögelfordulás $\theta = 0.01745 rad$ terhel. Számítsuk ki a csavarónyomaték értékét M_t , valamint a nyírófeszültségeket τ_{xz} és τ_{yz} is.

Az analitikus megoldásra az elemi szilárdságtanban ismert összefüggéseket alkalmazva csavarónyomaték M_t értékét a következő képletekkel számíthatjuk:



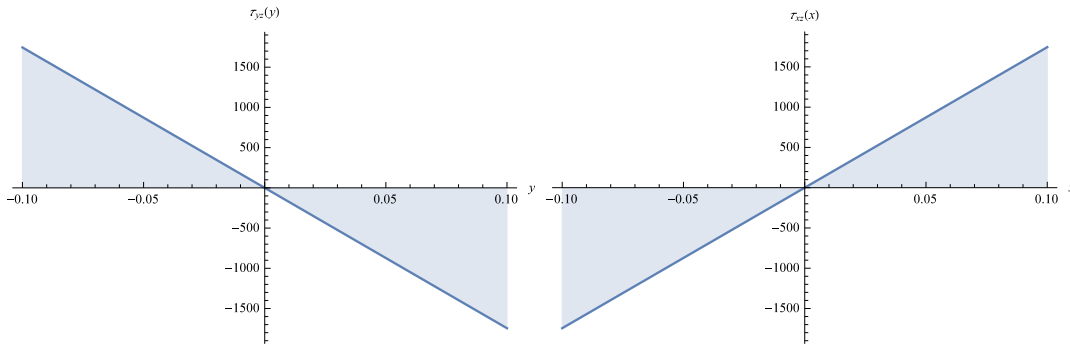
$$\begin{aligned}
 R &= 0.1m \\
 M_t &= G \cdot \theta \cdot \pi \cdot \frac{R^4}{2} \\
 &= 10^6 \cdot 0.01745 \cdot \pi \cdot \frac{0.1^4}{2} = 2.74103959 kNm
 \end{aligned}$$

a nyírófeszültségek τ_{zx} és τ_{zy} , a diagrammokon látható, hogy egyrészt lineáris az eloszlásuk a keresztmetszeten, illetve, hogy a kör keresztmetszetű rudak csavarásánál nem jelentkezik öblösödés:

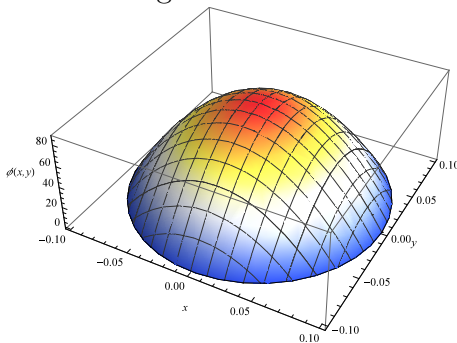
$$\tau_{xz} = -G \cdot \theta \cdot y = -10^6 \cdot 0.01745 \cdot 0.1 = -1745 \text{ kN/m}^2 = -0.1745 \text{ MPa}$$

$$\tau_{yz} = G \cdot \theta \cdot x = 10^6 \cdot 0.01745 \cdot 0.1 = 1745 \text{ kN/m}^2 = 0.1745 \text{ MPa}$$

$$\tau_{xz} = -17450x, \quad \tau_{yz} = 17450y$$

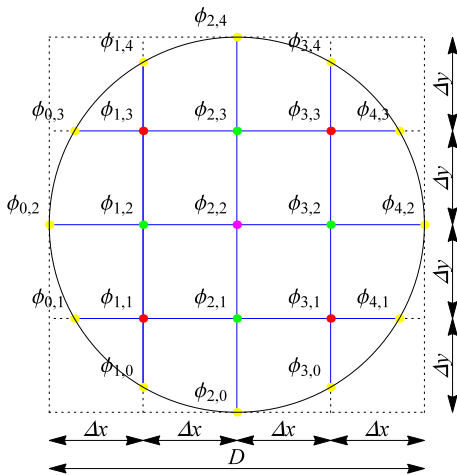
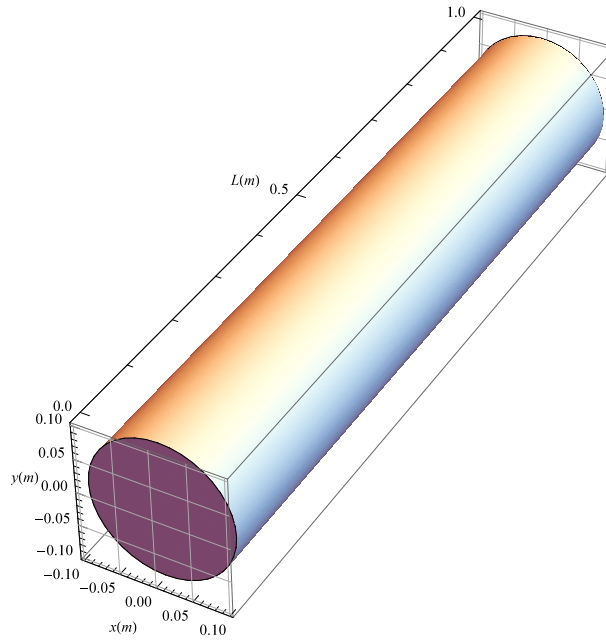


míg a torzulási függvény $\phi(x, y)$ a kör keresztmetszetű tartóra vonatkoztatva analitikusan meghatározva:



$$\begin{aligned} \phi(x, y) &= \frac{1}{2} \cdot G \cdot \theta \cdot R^2 \left(1 - \frac{x^2}{R^2} - \frac{y^2}{R^2} \right) \\ &= \frac{1}{2} \cdot 10^6 \cdot 0.01745 \cdot 0.1^2 \left(1 - \frac{x^2}{0.1^2} - \frac{y^2}{0.1^2} \right) \\ &= 87.25(1 - 100x^2 - 100y^2) \end{aligned}$$

A numerikus megoldást a tartomány felosztásával kezdjük, megjegyzendő mivel a tartomány határa nem esik egybe a szélső ráccsal ezért a csomópontok nem esnek a rácstra, úgy mint az előző feladatban itt is $n \times m = 4 \times 4$ rácssűrűséget alkalmazunk:



$$\begin{aligned}
 D &= 0.2m \\
 m &= 4 \\
 n &= 4 \\
 \Delta x &= \frac{a}{m} = \frac{0.2}{4} = 0.05m \\
 \Delta y &= \frac{b}{n} = \frac{0.2}{4} = 0.05m \\
 a &= b = 0.7321m
 \end{aligned}$$

A torzulási függvény csomópontokban történő meghatározásához a (??) képlet alapján:

- csomópont $\phi_{1,1}$

$$\begin{aligned}
 &\frac{2}{0.05^2} \left(\frac{1}{0.7321(1+0.7321)} \phi_{0,1} + \frac{1}{1+0.7321} \phi_{2,1} - \frac{1}{0.7321} \phi_{1,1} \right) + \\
 &\frac{2}{0.05^2} \left(\frac{1}{0.7321(1+0.7321)} \phi_{1,0} + \frac{1}{1+0.7321} \phi_{1,2} - \frac{1}{0.7321} \phi_{1,1} \right) = -2G\theta \\
 &461.88\phi_{2,1} - 1092.82\phi_{1,1} + 1092.82\phi_{1,2} - 273.19\phi_{1,1} = -34900 \\
 &461.88\phi_{2,1} - 2185.64\phi_{1,1} + 461.88\phi_{1,2} = -34900
 \end{aligned}$$

- csomópont $\phi_{2,1}$

$$\begin{aligned} \frac{1}{0.05^2} (\phi_{3,1} - 2\phi_{2,1} + \phi_{1,1}) + \frac{1}{0.05^2} (\phi_{2,2} - 2\phi_{2,1} + \phi_{2,0}) &= -2G\theta \\ 400\phi_{3,1} - 800\phi_{2,1} + 400\phi_{1,1} + 400\phi_{2,2} - 800\phi_{2,1} &= -34900 \\ 400\phi_{3,1} - 1600\phi_{2,1} + 400\phi_{1,1} + 400\phi_{2,2} &= -34900 \end{aligned}$$

- csomópont $\phi_{3,1}$

$$\begin{aligned} \frac{2}{0.05^2} \left(\frac{1}{0.7321(1+0.7321)} \phi_{4,1} + \frac{1}{1+0.7321} \phi_{2,1} - \frac{1}{0.7321} \phi_{3,1} \right) + \\ \frac{2}{\Delta 0.05^2} \left(\frac{1}{0.7321(1+0.7321)} \phi_{4,1} + \frac{1}{1+0.7321} \phi_{3,2} - \frac{1}{0.7321} \phi_{3,1} \right) &= -2G\theta \\ 461.88\phi_{2,1} - 1092.82\phi_{3,1} + 461.88\phi_{3,2} - 1092.82\phi_{3,1} &= -34900 \\ 461.88\phi_{2,1} - 2185.64\phi_{3,1} + 461.88\phi_{3,2} &= -34900 \end{aligned}$$

- csomópont $\phi_{1,2}$

$$\begin{aligned} \frac{1}{0.05^2} (\phi_{2,2} - 2\phi_{1,2} + \phi_{0,2}) + \frac{1}{0.05^2} (\phi_{1,3} - 2\phi_{1,2} + \phi_{1,1}) &= -2G\theta \\ 400\phi_{2,2} - 800\phi_{1,2} + 400\phi_{1,3} + 400\phi_{1,2} - 800\phi_{1,1} &= -34900 \\ 400\phi_{2,2} - 1600\phi_{1,2} + 400\phi_{1,3} + 400\phi_{1,1} &= -34900 \end{aligned}$$

- csomópont $\phi_{2,2}$

$$\begin{aligned} \frac{1}{0.05^2} (\phi_{3,2} - 2\phi_{2,2} + \phi_{1,2}) + \frac{1}{0.05^2} (\phi_{2,3} - 2\phi_{2,2} + \phi_{2,1}) &= -2G\theta \\ 400\phi_{3,2} - 800\phi_{2,2} + 400\phi_{1,2} + 400\phi_{2,3} - 800\phi_{2,2} + 400\phi_{2,1} &= -34900 \\ 400\phi_{3,2} - 1600\phi_{2,2} + 400\phi_{1,2} + 400\phi_{2,3} + 400\phi_{2,1} &= -34900 \end{aligned}$$

- csomópont $\phi_{3,2}$

$$\begin{aligned} \frac{1}{0.05^2} (\phi_{4,2} - 2\phi_{3,2} + \phi_{2,2}) + \frac{1}{0.05^2} (\phi_{3,3} - 2\phi_{3,2} + \phi_{3,1}) &= -2G\theta \\ -800\phi_{3,2} + 400\phi_{2,2} + 400\phi_{3,3} - 800\phi_{3,2} + 400\phi_{3,1} &= -34900 \\ -1600\phi_{3,2} + 400\phi_{2,2} + 400\phi_{3,3} + 400\phi_{3,1} &= -34900 \end{aligned}$$

- csomópont $\phi_{1,3}$

$$\begin{aligned} & \frac{2}{0.05^2} \left(\frac{1}{0.7321(1+0.7321)} \phi_{0,3} + \frac{1}{1+0.7321} \phi_{2,3} - \frac{1}{0.7321} \phi_{1,3} \right) + \\ & \frac{2}{0.05^2} \left(\frac{1}{0.7321(1+0.7321)} \phi_{1,4} + \frac{1}{1+0.7321} \phi_{1,2} - \frac{1}{0.7321} \phi_{1,3} \right) = -2G\theta \\ & 461.88\phi_{2,3} - 1092.82\phi_{1,3} + 461.88\phi_{1,2} - 1092.82\phi_{1,3} = -34900 \\ & 461.88\phi_{2,3} - 2185.64\phi_{1,3} + 461.88\phi_{1,2} = -34900 \end{aligned}$$

- csomópont $\phi_{2,3}$

$$\begin{aligned} & \frac{1}{0.05^2} (\phi_{3,3} - 2\phi_{2,3} + \phi_{1,3}) + \frac{1}{0.05^2} (\phi_{2,4} - 2\phi_{2,3} + \phi_{2,2}) = -2G\theta \\ & 400\phi_{3,3} - 800\phi_{2,3} + 400\phi_{1,3} - 800\phi_{2,3} + 400\phi_{2,2} = -34900 \\ & 400\phi_{3,3} - 1600\phi_{2,3} + 400\phi_{1,3} + 400\phi_{2,2} = -34900 \end{aligned}$$

- csomópont $\phi_{3,3}$

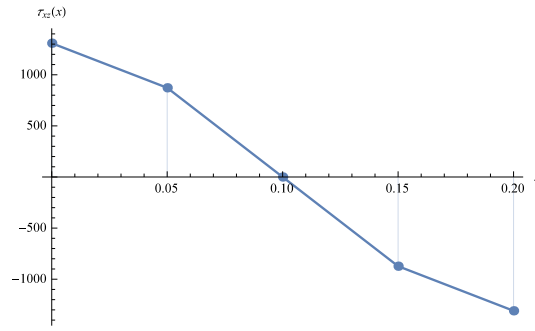
$$\begin{aligned} & \frac{2}{0.05^2} \left(\frac{1}{0.7321(1+0.7321)} \phi_{0,3} + \frac{1}{1+0.7321} \phi_{2,3} - \frac{1}{0.7321} \phi_{1,3} \right) + \\ & \frac{2}{0.05^2} \left(\frac{1}{0.7321(1+0.7321)} \phi_{3,4} + \frac{1}{1+0.7321} \phi_{2,2} - \frac{1}{0.7321} \phi_{1,3} \right) = -2G\theta \\ & 461.88\phi_{2,3} - 1092.82\phi_{3,3} + 461.88\phi_{3,2} - 1092.82\phi_{3,3} = -34900 \\ & 461.88\phi_{2,3} - 2185.64\phi_{3,3} + 461.88\phi_{3,2} = -34900 \end{aligned}$$

Megoldva a lineáris egyenletrendszert meghatározzuk a $\phi_{i,j}$ csomóponti értékeit:

$$\begin{aligned} \phi_{1,1} &= 43.6332; & \phi_{2,1} &= 65.4498; & \phi_{3,1} &= 43.6332 \\ \phi_{1,2} &= 65.4498; & \phi_{2,2} &= 87.2665; & \phi_{3,2} &= 65.4498 \\ \phi_{1,3} &= 43.6332; & \phi_{2,3} &= 65.4498; & \phi_{3,3} &= 43.6332 \end{aligned}$$

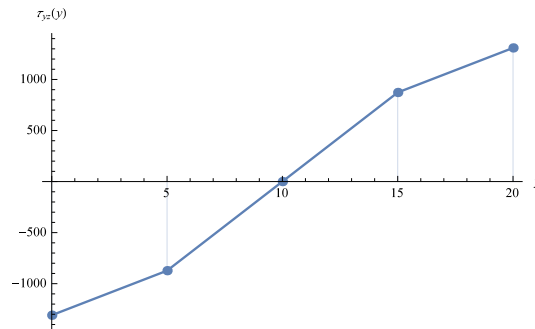
az x irányú nyírófeszültségek τ_{xz} véges differenciák módszerével a csomópontokban:

$$\begin{aligned} \tau_{xz;0,2} &= \frac{\phi_{1,2}}{\Delta x} = \frac{65.4498}{0.05} = 1308.996kN/m^2 \\ \tau_{xz;1,2} &= \frac{\phi_{2,2} - \phi_{0,2}}{2\Delta x} = \frac{87.2665 - 0}{2 \cdot 0.05} = 872.665kN/m^2 \\ \tau_{xz;2,2} &= \frac{\phi_{3,2} - \phi_{1,2}}{2\Delta x} = \frac{65.4498 - 65.4498}{2 \cdot 0.05} = 0kN/m^2 \\ \tau_{xz;3,2} &= \frac{\phi_{4,2} - \phi_{2,2}}{2\Delta x} = \frac{0 - 87.2665}{2 \cdot 0.05} = -872.665kN/m^2 \\ \tau_{xz;4,2} &= \frac{-\phi_{3,2}}{\Delta x} = \frac{-65.4498}{0.05} = -1308.996kN/m^2 \end{aligned}$$



az yz irányú nyírófeszültségek τ_{yz} pedig a csomópontokban:

$$\begin{aligned}\tau_{yz;2,0} &= -\frac{\phi_{2,1}}{\Delta x} = -\frac{65.4498}{0.05} = -1308.996 \text{ kN/m}^2 \\ \tau_{yz;2,1} &= -\frac{\phi_{2,2} - \phi_{2,0}}{2\Delta x} = -\frac{87.2665 - 0}{2 \cdot 0.05} = -872.665 \text{ kN/m}^2 \\ \tau_{yz;2,2} &= -\frac{\phi_{2,3} - \phi_{2,1}}{2\Delta x} = -\frac{65.4498 - 65.4498}{2 \cdot 0.05} = 0 \text{ kN/m}^2 \\ \tau_{yz;2,3} &= -\frac{\phi_{2,4} - \phi_{2,2}}{2\Delta x} = -\frac{0 - 87.2665}{2 \cdot 0.05} = 872.665 \text{ kN/m}^2 \\ \tau_{yz;2,4} &= -\frac{-\phi_{2,3}}{\Delta x} = -\frac{-65.4498}{0.05} = 1308.996 \text{ kN/m}^2\end{aligned}$$



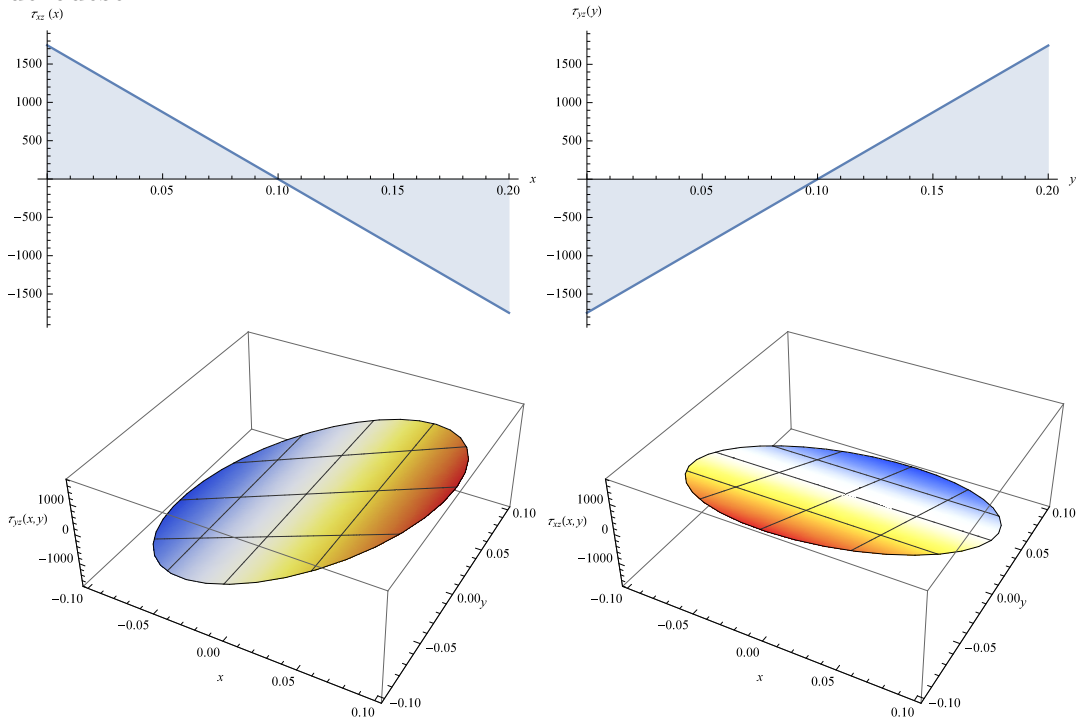
A mérnöki gyakorlatban azonban a legnagyobb nyírófeszültség meghatározására általában elég ha interpolációs polinomot használunk három csomóponton keresztül:

$$\begin{aligned}\tau_{zx} &= -\frac{-3\phi_{0,2} + 4\phi_{1,2} - \phi_{2,2}}{2\Delta x} = -\frac{-3 \cdot 0 + 4 \cdot 65.4498 - 87.2665}{2 \cdot 0.05} = -1745.33 \text{ kN/m}^2 \\ \tau_{zy} &= \frac{-3\phi_{2,0} + 4\phi_{2,1} - \phi_{2,2}}{2\Delta x} = \frac{-3 \cdot 0 + 4 \cdot 65.4498 - 87.2665}{2 \cdot 0.05} = 1745.33 \text{ kN/m}^2\end{aligned}$$

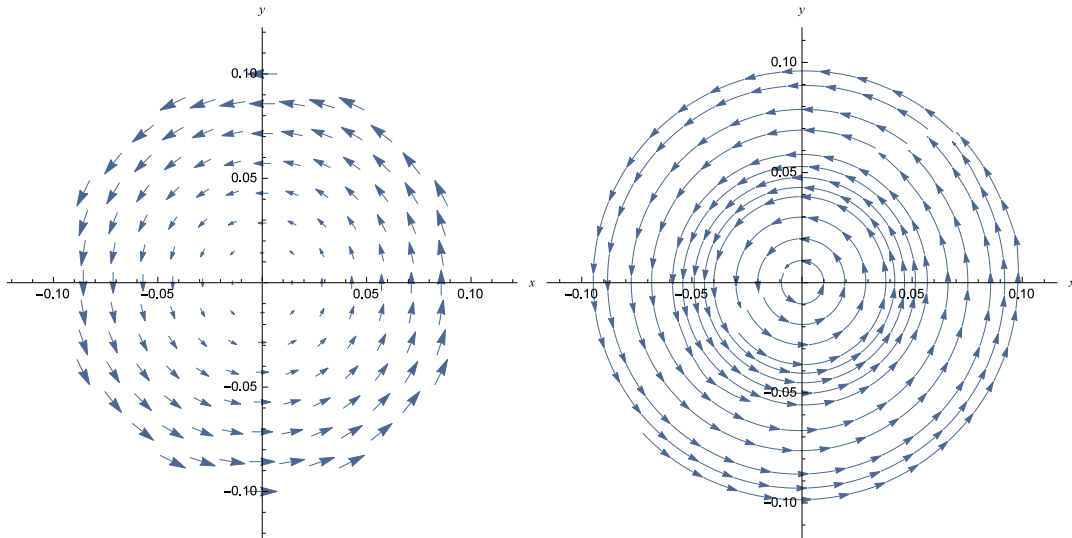
A nyíró feszültségek τ_{zx} és a τ_{zy} pontosabb meghatározása érdekében azonban érdemes a torzulási függvény folyamatos felületként történő használata, vagyis ha a megkeressük az első parciális deriváltját x és y szerint, lényegesebben pontosabb megoldást kapunk:

$$\begin{aligned}\tau_{xz}(x) &= 1745.33x - 8726.65x^2 - 9.88268 \cdot 10^{-6}x^3 + 0.0000247067x^4 \\ \tau_{yz}(y) &= 1745.33y - 8726.65y^2 - 9.88268 \cdot 10^{-6}y^3 + 0.0000247067y^4\end{aligned}$$

Ezekon az ábrákon is jól megfigyelhető a nyírófeszültségek majdnem lineáris elrendeződése:



vektormező diagrammokon a nyírófeszültség bemutatva



5. Összegzés

A munkámmal azt szerettem volna bebizonyítani, és a bizonyítás szerintem sikerrel is járt, miszerint a viszonylag kis csomóponti sűrűségnél, a véges differenciák módszerével igen pontos eredményeket kaphatunk. Ezzel lehetővé téve a gyakorló mérnökök számára egy gyors és egyszerű módszert, akár az ellenőrzésre is. Mivel a csavarással terhelt rudak esetére analitikus megoldás csak bizonyos keresztmetszetekre

alkalmazható, ezért a dolgozatommal arra szeretnék rámutatni, hogy hogyan lehet alkalmazni a numerikus módszerek sokoldalúságát, melyekkel akár összetett keresztmetszetű rudak csavarási vizsgálata is lehetővé válik. Munkám mellett szóló legfőbb érv és előny, az egyszerűségben és a sokoldalúságban rejlik.

Irodalom

- [1] Š. Dunica, Ž. Bojović, *Zbirka rešenih zadataka iz otpornost materijala sa izvodima iz teorije*, Naučna Knjiga, Beograd, 1984.
- [2] Š. Dunica, *Otpornost materijala*, Gradjevinska knjiga, Beograd, 2009.
- [3] V. Brčić, *Otpornost materijala*, Gradjevinska knjiga, Beograd, 1978.
- [4] G. Csikós Pajor, H. Péics, *Analízis, elméleti összefoglaló és példatár*, Bolyai Farkas Alapítvány, Zenta, 2010.
- [5] M. Gojković, *Drvene konstrukcije*, Naučna knjiga, Beograd, 1983.
- [6] B. Katalin, K. Flórián, *Szilárdságtan, Óravázlat*, Budapest, 2012.